

## تفسیر بی‌هنچاری‌های مغناطیسی و گرانی با استفاده از روش واهمامیخت اویلر تعمیم‌یافته

جمال الدین بنی‌عامریان<sup>۱</sup>، محمد رداد<sup>۲\*</sup>، مهدی محمدی ویژه<sup>۳</sup>

- ۱- استادیار، دانشکده علوم و فناوری‌های نوین، دانشگاه تحصیلات تکمیلی صنعتی و فناوری پیشرفت  
 ۲- استادیار، دانشکده مهندسی معدن، نفت و ژئوفیزیک، دانشگاه صنعتی شاهرود  
 ۳- کارشناس ژئوفیزیک، معاونت اکتشاف، سازمان زمین‌شناسی و اکتشاف مواد معدنی کشور، تهران  
 (دریافت: آذر ۱۳۹۸، پذیرش: مرداد ۱۳۹۹)

### چکیده

در این مقاله روش واهمامیخت اویلر تعمیم‌یافته برای تفسیر بی‌هنچاری‌های مغناطیسی و گرانی مطالعه و بررسی می‌شود. این روش با رفع برخی محدودیت‌های روش متداول واهمامیخت اویلر برای تخمین هم‌زمان و خودکار عمق، شاخص ساختاری و موقعیت افقی چشم‌های میدان پتانسیل به کار می‌رود. مهم‌ترین محدودیت روش واهمامیخت اویلر، وابستگی غیرخطی شاخص ساختاری و میدان زمینه است که در نتیجه برآورد هم‌زمان این دو مؤلفه را غیرممکن می‌سازد. به همین دلیل برای حل این معادله ابتدا یک مقدار پیش فرض برای شاخص ساختاری در نظر گرفته شده و نتایج به دست آمده با توجه به معیارهای مختلف ارزیابی می‌شوند. شاخص ساختاری اشتبا، نتایج نهایی را تحت تاثیر قرار می‌دهد. در معادلات تعمیم‌یافته، معادله دیفرانسیل اویلر برای تبدیل هیلبرت میدان و مشتق‌های آن حل می‌شود. از آنجایی که تبدیل هیلبرت مقادیر ثابت صفر است، وابستگی خطی شاخص ساختاری و میدان زمینه حذف و در نتیجه محاسبه خودکار شاخص ساختاری ممکن می‌شود. از طرفی چون تبدیل هیلبرت دارای دو مؤلفه  $x$  و  $y$  است، تعداد معادلات در هر نقطه و در نتیجه اعتبار جواب آنها افزایش می‌یابد. در این مقاله ابتدا تئوری روش واهمامیخت اویلر تعمیم‌یافته به طور مفصل شرح داده می‌شود، سپس بی‌هنچاری مغناطیسی تولید شده توسط ۱۸ کره مغناطیسی (دوقطبی مغناطیسی) با ویژگی‌های متفاوت با استفاده از این روش مطالعه می‌شود. در نهایت از این روش برای تفسیر بی‌هنچاری بوگر گرانی منطقه‌ای در استان کبک کشور کاناดา و بی‌هنچاری مغناطیسی تولید شده توسط سنگ‌های آذرین در محدوده شهرستان انار واقع در استان کرمان استفاده خواهد شد.

### کلمات کلیدی

بی‌هنچاری گرانی، بی‌هنچاری مغناطیسی، تخمین عمق، شاخص ساختاری، واهمامیخت اویلر تعمیم‌یافته

\*عهده‌دار مکاتبات: mradad@shahroodut.ac.ir

## ۱- مقدمه

بهره‌گیری از تبدیل هیلبرت این روش را برای حالت سه‌بعدی تعمیم دادند. دیویس و همکاران [۱۵]، با حذف شاخص ساختاری از معادلات دیفرانسیلی مرتبط و اعمال روش اویلر روی میدان مغناطیسی و مشتق‌های آن، روش جدید و خلاقانه‌ای را برای اکتشاف و شناسایی مهمات منفجر نشده به کار بردند. در این مقاله به مطالعه این الگوریتم اخیر و کاربرد آن روی داده‌های مغناطیسی و گرانی به منظور تخمین مشخصه‌های چشم، شامل عمق، موقعیت افقی و شاخص ساختاری، پرداخته می‌شود. الگوریتم انجام این روش به صورت مرحله‌ای با بیان ساده در بخش تئوری آورده می‌شود. ایده میانگین‌گیری از نتایج، پیرامون نقطه‌ای که جواب‌ها تجمع زیادی دارند مطرح می‌شود که می‌تواند به بهبود در دقت تخمین محل چشمکم کند. همچنان نحوه محاسبه مشتق‌های جهتی و عدد موج با جزئیات بیشتری مورد بحث قرار می‌گیرد و توضیحاتی در مورد تغییرات شاخص ساختاری برای میدان‌هایی که همگن نیستند داده می‌شود. در نهایت الگوریتم واهمامیخت اویلر تعمیم یافته برای بی‌هنجری مغناطیسی تولید شده با مدل مصنوعی و در حالت واقعی برای تخمین مشخصات چشمکم بی‌هنجری نوراندا (Noranda) در استان کبک (Quebec) کشور کانادا، و بی‌هنجری مغناطیسی ناشی از واحدهای سنگی آذرین بیرونی در محدوده‌ای از شهرستان انار واقع در استان کرمان استفاده خواهد شد.

## ۲- روش، بحث و بررسی

## ۱-۲- روش واهمامیخت اویلر تعمیم یافته

روش واهمامیخت اویلر بر این اصل استوار است که میدان پتانسیل (مغناطیسی و گرانی) ناشی از چشمکه‌هایی با شکل هندسی ساده مانند استوانه و کره در معادله همگن دیفرانسیلی اویلر صدق می‌کند. به این ترتیب اگر مؤلفه‌ای دلخواه از میدان،  $F$ ، (مغناطیسی یا گرانی) همگن از درجه  $n$  باشد، یعنی اگر رابطه (۱) را برآورده کند:

$$F(tx, ty, tz) = t^n F(x, y, z) \quad (1)$$

که در این صورت میدان  $F$  در معادله دیفرانسیل اویلر، رابطه (۲)، صدق خواهد کرد:

$$x \frac{\partial F}{\partial x} + y \frac{\partial F}{\partial y} + z \frac{\partial F}{\partial z} = nF(x, y, z) \quad (2)$$

روش واهمامیخت اویلر به عنوان یک روش بنیادی و مهم در تفسیر کمی داده‌های میدان مغناطیسی و گرانی در حوزه ژئوفیزیک اکتشافی طی چندین دهه به شیوه‌های مختلفی به کار گرفته شده است. این روش بر مبنای استفاده از معادله دیفرانسیل همگن اویلر است که در قرن هجدهم معرفی شد. هود [۱۶] برای اولین بار این معادله را وارد روش‌های مغناطیسی نمود و شاخص ساختاری را برای دققطبی مغناطیسی استخراج کرد. تامپسون [۲۷] این روش را توسعه داد و با معرفی معیاری برای حذف جواب‌های غیرواقعی، از آن برای تفسیر داده‌های دو بعدی (داده‌ها در امتداد پروفیل) مغناطیسی استفاده کرد. رید و همکاران [۳۸] روش واهمامیخت اویلر را برای حالت سه‌بعدی از طریق اعمال آن روی داده‌های شبکه‌بندی شده مغناطیسی توسعه و پیشنهاد کاربرد آن روی داده‌های گرانی را ارائه دادند. این روش به دلیل توانایی‌هایی که داشت به سرعت مقبیلت و کاربرد فراوانی در حوزه اکتشاف گرانی و مغناطیسی پیدا کرد و الگوریتم‌های متنوعی برای بهبود کاربرد آن روی داده‌های مغناطیسی، گرانی، مشتق‌ها و مؤلفه‌های تانسوری توسعه پیدا کرد [۴۱-۱۹]. در بسیاری از تحقیقات اخیر موضوع حذف حل‌های غیرواقعی، کاهش پراکندگی نتایج و کاهش تعداد معادلات اویلر در هر نقطه، از طریق کاهش تعداد مجھولات یا اعمال قیدهای بیشتر، مورد توجه ویژه بوده است (به عنوان مثال رجوع شود به [۲۰]). در واقع می‌توان گفت که روش اویلر به شکل اولیه و کلاسیک خود نقاط ضعفی دارد که به کارگیری آن را برای ساختارهای پیچیده به امری زمان بر و دشوار تبدیل می‌کند. در واقع به دلیل وابستگی غیرخطی میدان زمینه و شاخص ساختاری، که توصیف کننده شکل هندسی چشمکه است، لازم است که شاخص ساختاری به صورت پیش فرض و یا با داشتن اطلاعات اولیه از چشمکه وارد مسئله شود. در حالی که نتایج نهایی مسئله به شدت نسبت به این کمیت ناپایدار است و انتخاب اشتباه آن به نتایج نادرستی می‌انجامد. موشاياندبو و همکاران [۲۱] با اعمال محدودیت چرخشی (rotational constraint)، روش واهمامیخت اویلر تعمیم یافته را برای حالت دو بعدی توصیف کردند که برخی از محدودیت‌های روش‌های پیشین را ندارد. نبیقیان و هنسن [۷۲] با

[۳،۲]. برای حل این معادله معمولاً پنجره‌های متحرکی با ابعاد مشخص در نظر گرفته می‌شود و با تشکیل دستگاهی از معادلات برای همه نقاط درون پنجره، مجھولات تخمین زده می‌شوند. در انتخاب بهینه ابعاد پنجره گسترش بی‌هنگاری‌ها، میزان تداخل بی‌هنگاری چشم‌های مجاور، سطح نوشه و عمق چشم‌های مورد هدف اکتشاف باید مدنظر قرار بگیرد. برای هر پنجره چون تعداد معادلات بیشتر از تعداد مجھولات است نیاز به حل یک مسئله بیش‌تعیین شده (overdetermined) با استفاده از روش کمترین مربعات وجود دارد. حل این معادله نسبت به مقدار شاخص ساختاری انتخابی بسیار ناپایدار است و تخمین یا فرض نادرست آن می‌تواند دیگر جواب‌ها را با خطای زیادی مواجه کند. بنابراین روش‌های مختلفی برای رفع این مشکل از طریق کم کردن تعداد مجھولات توسعه یافته است. در این راستا نبیقیان و هنسن [۷] و دیویس و همکاران [۱۵] با تعمیم و کلیت بخشیدن به روش موشایاندبو و همکاران (۱۹۹۹، ۲۰۰۱) روش تعمیم یافته، اویلر را بر مبنای تبدیل هیلبرت میدان، برای تخمین عمق، موقعیت افقی و شاخص ساختاری چشم‌های پتانسیل ارائه دادند. توجیه تئوری این روش بر این اصل است: چنانچه میدان پتانسیل همگنی در معادله اویلر صدق کند، تبدیل هیلبرت آن میدان نیز معادله اویلر را برآورده خواهد کرد. در این روش، میدان زمینه که در هر پنجره ثابت فرض می‌شود، با استفاده از تبدیل هیلبرت حذف خواهد شد و معادله برای چهار مجھول ( $x_0, y_0, z_0, N$ ) حل می‌شود. به این ترتیب رابطه‌های (۳) و (۴) برای تبدیل هیلبرت میدان نیز برقرارند؛ با این مزیت مهم که چون تبدیل هیلبرت کمیت ثابت صفر است میدان زمینه حذف خواهد شد [۷]:

$$(x - x_0) \frac{\partial \mathbf{H}(F)}{\partial x} + (y - y_0) \frac{\partial \mathbf{H}(F)}{\partial y} + (z - z_0) \frac{\partial \mathbf{H}(F)}{\partial z} = -N\mathbf{H}(F) \quad (5)$$

که  $\mathbf{H}$  نشان‌دهنده تبدیل هیلبرت است که دو مؤلفه  $x$  و  $y$  دارد:

$$\mathbf{H} = \mathbf{H}x\hat{i} + \mathbf{H}y\hat{j} \quad (6)$$

که  $\mathbf{H}x$  و  $\mathbf{H}y$  به ترتیب تبدیل هیلبرت در جهت  $x$  و  $y$  هستند. بنابراین رابطه (۵) به دو معادله مجزا تبدیل می‌شود:

$$(x - x_0) \frac{\partial \mathbf{H}x(F)}{\partial x} + (y - y_0) \frac{\partial \mathbf{H}x(F)}{\partial y} \quad (7)$$

که  $t$  یک ضریب حقیقی و  $x, y, z$  مختصات میدان است. درجه همگنی به شکل هندسی چشم‌های بستگی دارد و توصیف کننده تغییرات میدان تولید شده توسط چشم‌های تغییر فاصله از چشم‌های این میدان ناشی از یک دوقطبی مغناطیسی با توان سوم (درجه همگنی -۳) و میدان یک جرم نقطه‌ای با توان دوم (درجه همگنی -۲) فاصله نسبت عکس دارد (به عنوان مثال میدان ناشی از مشتق‌های میدان، درجه همگنی برابر با درجه همگنی خود میدان منهای مرتبه مشتق است. یعنی درجه همگنی مشتق افقی یا قائم میدان دوقطبی مغناطیسی از درجه -۴ است. رابطه (۲) توسط تامپسون [۲] و رید و همکاران [۲] با عنوان روش واهمامیخت اویلر برای تخمین مشخصه چشم‌های دو و سه بعدی در اکتشافات مغناطیسی و گرانی به کار گرفته شد).

در اکتشاف چشم‌های میدان پتانسیل مقدار مطلق درجه همگنی به عنوان شاخص ساختاری تعریف می‌شود که با توجه به مفهوم درجه همگنی، توصیفی کلی از شکل هندسی چشم‌های ارائه می‌دهد. به این ترتیب معادله اصلی روش واهمامیخت اویلر در اکتشافات با رابطه (۳) بیان می‌شود:

$$(x - x_0) \frac{\partial F}{\partial x} + (y - y_0) \frac{\partial F}{\partial y} + (z - z_0) \frac{\partial F}{\partial z} = -NF + NB \quad (3)$$

که  $(x_0, y_0, z_0)$  محل چشم،  $(x, y, z)$  مختصات نقاط اندازه‌گیری،  $N$  شاخص ساختاری و  $B$  میدان زمینه است. رابطه (۳) را می‌توان به شکل بسته و کلی رابطه (۴) نوشت:

$$\sum_{x_i}^{y,z} (x_i - x_{0i}) \frac{\partial F}{\partial x} = -NF + NB \quad (4)$$

در معادله دیفرانسیلی رابطه (۴) پنج کمیت مجھول در  $(x_0, y_0, z_0, N, B)$  وجود دارد. با توجه به سمت راست رابطه (۴) شاخص ساختاری و میدان زمینه وابستگی غیرخطی دارد و تعیین هم‌زمان آنها امکان‌پذیر نیست. به این دلیل برای حل این معادله ابتدا یک مقدار پیش فرض برای شاخص ساختاری در نظر گرفته می‌شود و با توجه به معیارهای مختلفی مانند میزان تجمع جواب‌ها، اطلاعات زمین‌شناسی موجود (به ویژه در مورد شکل ساختاری) و انحراف معیار عمق برآورد شده نتایج صحت‌سنگی می‌شوند

(۱) محاسبه مشتق‌های جهتی میدان و تبدیل هیلبرت آنها و تشکیل معادلات ماتریسی رابطه‌های (۹) و (۱۰) انتخاب پنجره با بعد مناسب برای حل رابطه‌های (۹) و (۱۰). طول پنجره‌ها با توجه به گسترش بی‌هنجاری‌ها و میزان تداخل آنها انتخاب می‌شود. لازم است که پنجره‌هایی با بعد مختلف استفاده شود تا جواب‌های بهینه به دست آیند.

(۳) حذف جواب‌های غیر واقعی در هر پنجره با اعمال قید

(۴) تقریب محل افقی چشمیه با توجه به میزان تجمع جواب‌ها و تناظر آنها با بی‌هنجاری

(۵) میانگین‌گیری از جواب‌ها (عمق، موقعیت افقی و شاخص ساختاری) در یک محدوده (به تشخیص کاربر) به مرکزیت محل افقی چشمیه

(۶) تکرار مراحل ۲ تا ۵ برای همه مؤلفه‌های میدان و مقایسه نتایج.

## ۲-۲- شاخص ساختاری و محل عمق تخمینی

در تمامی روش‌هایی که مبنای آنها استفاده از معادله اویلر است محل عمق تخمینی به شکل هندسی چشمیه بستگی دارد. در واقع محل عمق تخمین زده شده مربوط به نقاط تکین چشمیه است. به عنوان مثال نقطه تکین چشمیه‌هایی با شکل هندسی ساده مانند کره و استوانه افقی در مرکز و نقطه تکین چشمیه‌هایی مانند دایک، سطح تماس و استوانه قائم در بالای آنها قرار دارد [۲۲؛ ۲۳؛ ۲۴؛ ۳۶۵ صفحه ۲۴؛ ۱۴]. برای اجسامی که شکل منظم یا کاملی ندارند (مانند منشور)، محل عمق تخمینی به فاصله از چشمیه بستگی دارد چرا که میدان این گونه چشمیه‌ها همگن نیست. به عبارت دیگر چنانچه اندازه‌گیری روی منشور در فواصل دور انجام پذیرد عمق می‌تواند عمق مرکز باشد و اگر فاصله نزدیک باشد عمق مربوط به سطح یا لبه‌های چشمیه است. میدان مغناطیسی و گرانی تولید شده توسط چشمیه‌هایی با شکل هندسی ساده مانند کره، استوانه و دایک نازک کاملاً همگن است، بنابراین شاخص ساختاری ثابتی دارند که با تغییر فاصله از چشمیه ثابت می‌ماند. اما برای چشمیه‌هایی مانند منشور چون میدان کاملاً همگنی ندارند شاخص ساختاری نیز با تغییر فاصله از چشمیه تغییر می‌کند. رفتار اندیس ساختاری و تغییر محل عمق تخمینی با تغییر فاصله از چشمیه به طور دقیق و جامع توسط فلوریو و همکاران [۲۵] تحلیل شده است.

$$\begin{aligned} + (z - z_0) \frac{\partial \mathbf{Hx}(F)}{\partial z} &= -N\mathbf{Hx}(F) \\ (x - x_0) \frac{\partial \mathbf{Hy}(F)}{\partial x} + (y - y_0) \frac{\partial \mathbf{Hy}(F)}{\partial y} \\ + (z - z_0) \frac{\partial \mathbf{Hy}(F)}{\partial z} &= -N\mathbf{Hy}(F) \end{aligned} \quad (8)$$

این روابط را می‌توان به شکل بسته رابطه‌های (۹) و (۱۰) نوشت:

$$\sum_{x,y,z}^{x_i, y_i, z_i} (x_i - x_{0i}) \frac{\partial \mathbf{Hx}(F)}{\partial x} = -N\mathbf{Hx}(F) \quad (9)$$

$$\sum_{x_i}^{x,y,z} (x_i - x_{0i}) \frac{\partial \mathbf{Hy}(F)}{\partial x} = -N\mathbf{Hy}(F) \quad (10)$$

در این روابط F می‌تواند میدان اندازه‌گیری شده یا مشتق‌های جهتی آن (قائم یا افقی) باشد. بنابراین در هر نقطه ۸ معادله جدا که مستقل از میدان زمینه هستند تشکیل می‌شود. لازم به ذکر است که برای ساختارهای با شاخص ساختاری صفر (سطح تماس مغناطیسی و دایک گرانی) مقدار ثابتی به سمت راست اضافه می‌شود که باید تعیین شوند [۹]. چون در اینجا هدف تخمین چشمیه‌های دو بعدی یا سه بعدی است به این موضوع پرداخته نمی‌شود. رابطه‌های (۹) و (۱۰) نیز با تعریف پنجره‌های متحرک با اندازه معین با استفاده از روش کمترین مربعات حل می‌شوند. در اینجا نیز همانند روش وهمامیخت کلاسیک با اعمال معیارها و در نظر گرفتن اطلاعات زمین‌شناسی جواب‌های غیر معتبر حذف می‌شوند. به عنوان مثال یک معیار می‌تواند حذف جواب‌هایی با اندیس ساختاری کوچکتر از صفر و بزرگتر از ۳ باشد. همچنین اطلاع از موقعیت تقریبی افقی چشمیه (که معمولاً به طور مستقیم و با توجه به نقشه میدان قابل تخمین است) نیز می‌تواند معیار خوبی برای گزینش جواب‌ها باشد. هرچه تجمع جواب‌ها بیشتر باشد نتایج از اعتبار بالاتری برخوردارند. به علاوه تنها حل‌هایی باید به عنوان جواب مسئله در نظر گرفته شوند که با بی‌هنجاری مشخصی در تناظر باشند.

در مسائل مدلسازی با روش‌های وارون می‌توان نتایج به دست آمده از روش اویلر تعمیم‌یافته را به عنوان اطلاعات اولیه وارد مسئله کرد تا یکتاپی مدل بازسازی شده افزایش یابد و بتوان مدلی با جزئیات دقیق‌تر تولید کرد. به طور خلاصه مراحل کاربرد این روش را می‌توان به شکل زیر خلاصه کرد:

بنابراین همانند سایر روش‌های تخمین مشخصه‌های چشم، که بر مبنای مشتق‌های میدان هستند، محاسبه هرچه پایدارتر مشتق‌های میدان در دقت نتایج نهایی بسیار مهم است. مشتق‌های افقی میدان را می‌توان به سادگی با استفاده از روش تفاضل محدود در حوزه مکان محاسبه کرد. این روش محاسبه مشتق افقی نسبت به فرآیند مشابه در حوزه فرکانس پایدارتر است [۲۷-۲۹]. به عنوان مثال برای میدان پتانسیل،  $F$ ، که در نقاط گسسته اندازه‌گیری شده است، مشتق افقی را در دو جهت می‌توان به صورت تقریبی با رابطه‌های (۱۹) و (۲۰) محاسبه کرد (به عنوان مثال: [۳۰]):

$$\left(\frac{\partial F}{\partial x}\right)_{ij} \approx \frac{F_{i+1,j} - F_{i-1,j}}{2\Delta x} \quad (19)$$

$$\left(\frac{\partial F}{\partial y}\right)_{ij} \approx \frac{F_{i,j+1} - F_{i,j-1}}{2\Delta y} \quad (20)$$

محاسبه مشتق قائم میدان در حوزه مکان دشوار و از نظر محاسباتی زمانبر است [۳۱]. بنابراین این فرایند به طور متداول در حوزه فوریه با ضرب اندازه عدد موج در تبدیل فوریه میدان و سپس تبدیل فوریه معکوس نتیجه حاصل از مرحله قبل به دست می‌آید. در این روش حساسیت تبدیل فوریه نسبت به نویه‌های بسامد بالای موجود در داده منجر به ناپایداری شدید مشتق‌گیری قائم نسبت به نویه خواهد شد. برای رفع این مشکل الگوریتم‌های مختلفی مانند تبدیلات هیلبرت [۲۶]، روش ISVD [۲۹] و روش منظم‌سازی [۳۲] پیشنهاد شده است. در این مقاله برای محاسبه مشتق قائم در رابطه‌های (۹) و (۱۰) از روش منظم‌سازی استفاده می‌شود.

### ۳- پیاده‌سازی

#### ۱-۳- کاربرد روش روی داده‌های مصنوعی

به منظور ارزیابی روش واهمامیخت اویلر تعمیم یافته، این روش روی بی‌هنگاری مغناطیسی تولید شده توسط ۱۸ چشم مغناطیسی سه بعدی (دوقطبی) که مشخصات فیزیکی و هندسی متفاوتی دارند و در نقاط مختلفی پراکنده شده‌اند اعمال می‌شود. فاصله بین نقاط اندازه‌گیری در هر دو راستا یک متر است. مغناطیس‌شوندگی (magnetization) چشم‌ها القایی و باقیمانده است. زوایای میل و انحراف میدان زمینه به ترتیب ۴۵ و ۴ درجه است. چون همه چشم‌ها دارای مغناطیس‌شوندگی

### ۳-۲- تبدیل هیلبرت

تبدیل هیلبرت سه‌بعدی تابع  $F$  در حوزه مکان با روابط انتگرالی (۱۱) و (۱۲) به دست می‌آید [۲۶]:

$$Hx[F] = \frac{1}{2\pi} \int_{-\infty}^{\infty} \int_{-\infty}^{\infty} \frac{x - \xi}{r^3} F(\xi, \eta) d\xi d\eta \quad (11)$$

$$Hy[F] = \frac{1}{2\pi} \int_{-\infty}^{\infty} \int_{-\infty}^{\infty} \frac{y - \eta}{r^3} F(\xi, \eta) d\xi d\eta \quad (12)$$

که

$$r = \sqrt{(x - \xi)^2 + (y - \eta)^2} \quad (13)$$

محاسبه تبدیل هیلبرت سه‌بعدی  $F$  با استفاده مستقیم از این روابط، پیچیده است. اما در حوزه فرکانس این محاسبات به سادگی امکان‌پذیر است. در حوزه فوریه عملگر تبدیل هیلبرت با رابطه (۱۴) تعریف می‌شود [۲۶]:

$$\mathbf{H} = Hx\hat{i} + Hy\hat{j} = -\frac{ik_x}{\sqrt{k_x^2 + k_y^2}}\hat{i} - \frac{ik_y}{\sqrt{k_x^2 + k_y^2}}\hat{j} \quad (14)$$

که  $k_x$  و  $k_y$  عده‌های موج در جهت  $x$  و  $y$  و  $i = \sqrt{-1}$  هستند. با این تعاریف تبدیل فوریه مؤلفه‌های  $x$  و  $y$ ، تبدیل هیلبرت  $F$  این گونه به دست می‌آید:

$$f[Hx(F)] = -\frac{ik_x}{\sqrt{k_x^2 + k_y^2}} f(F) \quad (15)$$

$$f[Hy(F)] = -\frac{ik_y}{\sqrt{k_x^2 + k_y^2}} f(F) \quad (16)$$

بنابراین با تبدیل فوریه معکوس رابطه‌های (۱۵) و (۱۶)، تبدیل هیلبرت  $F$  به دست می‌آید. عده‌های موج با استفاده از فاصله بین نقاط اندازه‌گیری و تعداد نقاط در هر جهت محاسبه می‌شوند:

$$(k_x)_s = \frac{2\pi}{n_x \Delta x} (s - 1), \quad (17)$$

$$s = 1, 2, \dots, n_x$$

$$(k_y)_h = \frac{2\pi}{n_y \Delta y} (h - 1), \quad (18)$$

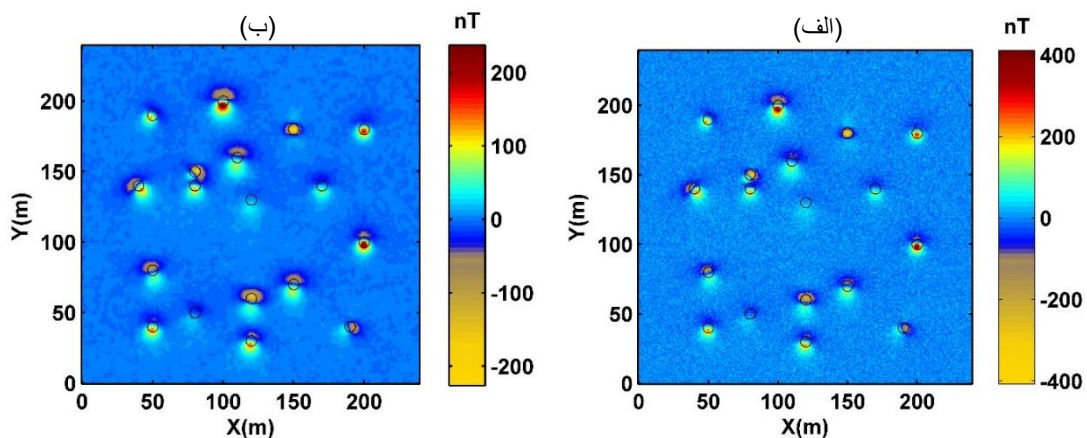
$$h = 1, 2, \dots, n_y$$

که  $\Delta x$  و  $\Delta y$  فاصله و  $n_x$  و  $n_y$  تعداد نقاط اندازه‌گیری در هر جهت است.

### ۴-۲- محاسبه مشتق‌های جهتی میدان

عمل مشتق‌گیری مانند فیلتر بالاگذر منجر به تقویت شدید نویه‌های بسامد بالای موجود در داده می‌شود.

مجاور شدید و هر چشمۀ دارای مغناطیس باقیمانده است. در واقع چشمۀ‌های معدنی فشرده (compact) می‌توانند به عنوان یک دوقطبی در نظر گرفته شوند. برای کاهش اثر نوافه قبل از کاربرد روش، داده‌ها با استفاده از ادامه فراسو به ارتفاع یک متری از سطح اندازه‌گیری منتقل می‌شوند. شکل ۱ بی‌هنجری مغناطیسی آلوده به نوافه گاووسی پس از ادامه فراسو به ارتفاع یک متری از آن (پس از ادامه فراسو) نشان می‌دهد.



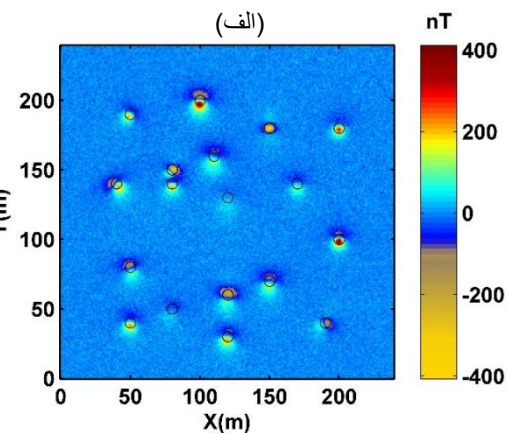
شکل ۱: (الف) بی‌هنجری مغناطیسی آلوده به نوافه گاووسی. (ب) بی‌هنجری مغناطیسی آلوده به نوافه گاووسی پس از ادامه فراسو به ارتفاع یک متری از سطح اندازه‌گیری. دایره‌ها محل دقیق چشمۀ‌ها را نشان می‌دهند.

جدول ۱: مشخصات چشمۀ‌های دوقطبی

| شماره<br>چشمۀ | عمق<br>(متر) | مغناطیدگی<br>(A/m) | زاویه میل<br>(درجه) | زاویه انحراف<br>(درجه) | شماره<br>چشمۀ | عمق<br>(متر) | مغناطیدگی<br>(A/m) | زاویه میل<br>(درجه) | زاویه انحراف<br>(درجه) |
|---------------|--------------|--------------------|---------------------|------------------------|---------------|--------------|--------------------|---------------------|------------------------|
| ۱             | ۱۰           | ۰/۱                | ۴۰                  | ۱۰                     | ۱۰            | ۷/۵          | ۰/۱۸               | ۲۵                  | ۱۰                     |
| ۲             | ۸            | ۰/۰۸               | ۱۰                  | ۲۵                     | ۱۱            | ۴/۵          | ۰/۰۷               | ۹۰                  | ۱۰                     |
| ۳             | ۳            | ۰/۰۵               | -۱۰                 | ۴۳                     | ۱۲            | ۴            | ۰/۰۵               | -۱۵                 | ۷۰                     |
| ۴             | ۴            | ۰/۰۸               | ۷۰                  | ۵                      | ۱۳            | ۵            | ۰/۰۹               | ۴۵                  | ۲۰                     |
| ۵             | ۵            | ۰/۱۵               | ۴۵                  | ۴                      | ۱۴            | ۴/۵          | ۰/۱                | ۲۰                  | -۶۰                    |
| ۶             | ۳/۵          | ۰/۰۶               | -۴۵                 | -۶                     | ۱۵            | ۵            | ۰/۰۸               | ۶۰                  | ۱۰                     |
| ۷             | ۵/۵          | ۰/۱                | ۵                   | -۲۰                    | ۱۶            | ۶            | ۰/۰۷               | ۴۰                  | -۵                     |
| ۸             | ۴            | ۰/۰۵               | ۴۵                  | ۷۰                     | ۱۷            | ۴            | ۰/۰۵               | ۴۰                  | -۵                     |
| ۹             | ۶            | ۰/۱۲               | ۲۵                  | ۱۰                     | ۱۸            | ۵/۵          | ۰/۱۴               | -۱۰                 | ۱۰                     |

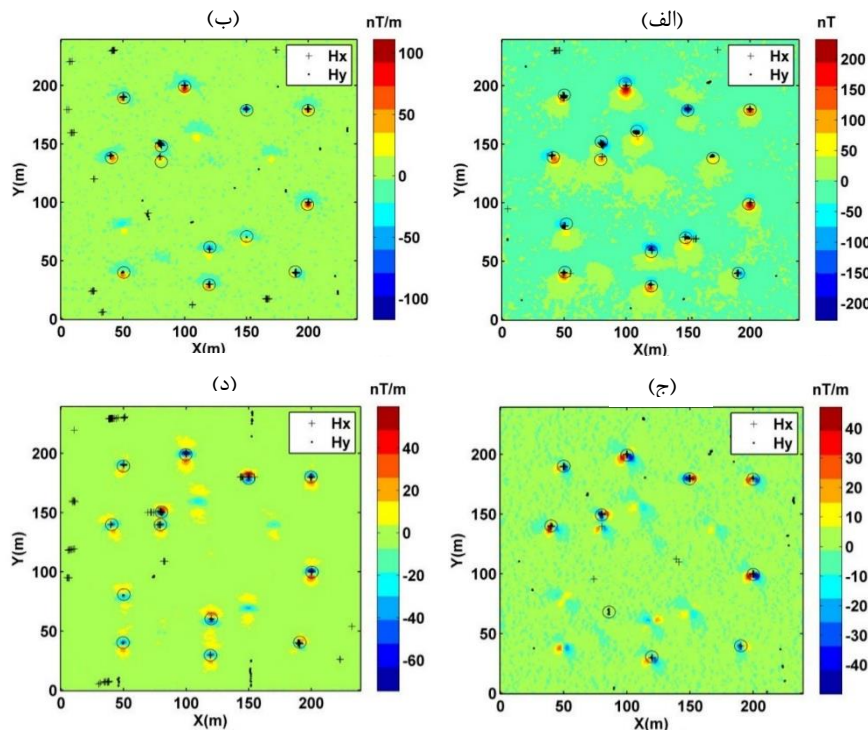
می‌دهد. در هر مورد مجموع جواب‌های به دست آمده از تبدیل هیلبرت میدان مربوطه در دو جهت در نظر گرفته می‌شوند. برای تخمین موقعیت افقی و عمق چشمۀ، با توجه به تمرکز و تجمع جواب‌ها و مطابقت آن با بی‌هنجری روی نقشه، دایره‌ای با شعاع ۵ متر انتخاب شده و مقدار تخمینی عمق و محل افقی چشمۀ مقدار میانگین

باقیمانده هستند، بنابراین زوایای میل و انحراف مغناطیس‌شوندگی چشمۀ‌ها یکسان نیست. ارتفاع سطح اندازه‌گیری یک متر است. در جدول ۱ مشخصات هر چشمۀ ذکر شده است. برای شبیه‌سازی شرایط واقعی تر نوافه گاووسی با میانگین صفر و انحراف معیار ۱۰ نانوتسلابه داده‌ها افزوده شده است. این مدل مصنوعی شامل مجموعه‌ای از دوقطبی‌ها با عمق و مغناطیس‌شوندگی متفاوت است و هدف از نمایش این مدل بررسی توانمندی روش مذکور برای حالتی است که اثرات تداخلی چشمۀ‌های



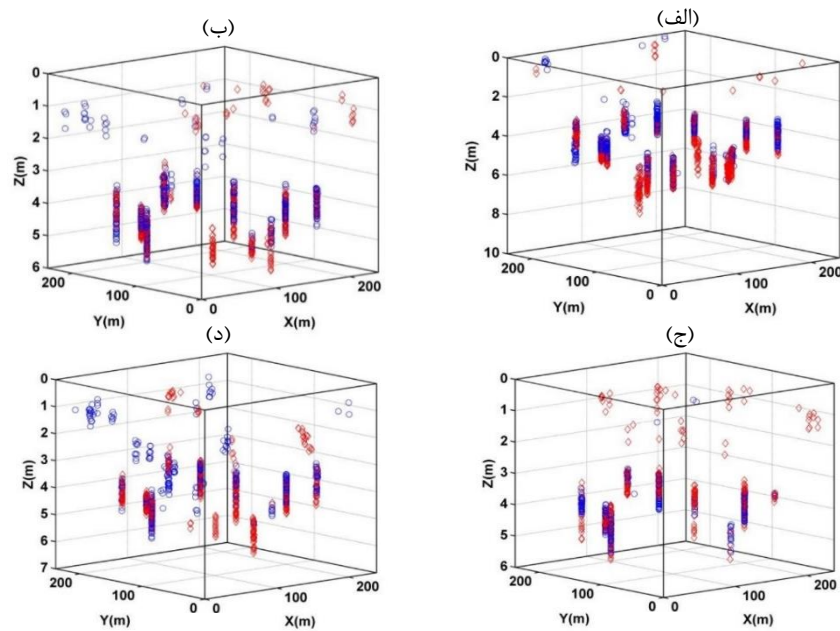
برای تخمین عمق، موقعیت افقی و شاخص ساختاری چشمۀ‌ها، رابطه‌های (۷) و (۸) برای بی‌هنجری مغناطیسی و مشتق‌های جهتی آن به کار برده می‌شود. جواب‌های مربوط به هر مورد پس از حذف جواب‌های غیرواقعی با استفاده از معیارهای مناسب به دست می‌آیند. شکل ۲ مجموع کل جواب‌ها را برای میدان و مشتق‌های آن نشان

خواهد بود. جواب‌های نهایی از ترکیب نتایج این چهار حالت که هر حالت خود شامل تحلیل تبدیل هیلبرت در دو جهت است به دست می‌آید. به عبارتی دیگر نتایج نهایی بر مبنای ترکیب هشت معادله حل شده برآورد می‌شوند. شکل ۴-الف و ۴-ب به ترتیب موقعیت افقی و عمق تخمینی چشم‌های را نشان می‌دهد. با توجه به این شکل روش واهمامیخت اویلر تعمیم یافته موقعیت افقی چشم‌های را با دقت بسیار خوبی تخمین زده و تعیین عمق چشم‌های را با دقت کمی برخوردار است. در شکل ۵-الف مقادیر نیز از خطای کمی برخوردار است. در این روش ترسیم عمق واقعی و تخمینی همه چشم‌های و اختلاف آنها ترسیم شده است. همان‌طور که قبلاً ذکر شد، در این روش نیاز به پیش‌فرض شاخص ساختاری نیست و این کمیت به صورت خودکار برآورد می‌شود. نتایج نشان می‌دهد که توانایی این روش در تعیین خودکار این کمیت نیز قابل توجه است. شکل ۵-ب توزیع آماری مقادیر به دست آمده شاخص ساختاری چشم‌های را نشان می‌دهد که مطابق انتظار برای همه چشم‌های نزدیک به ۳ است.

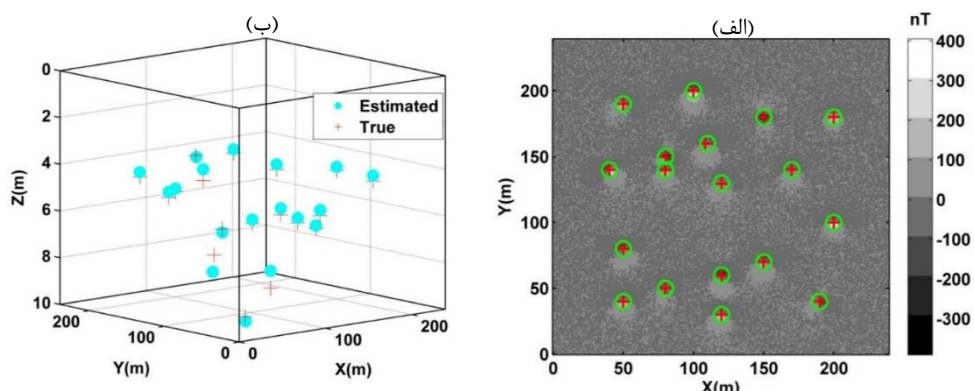


شکل ۲: تمرکز و تجمع جواب‌های سطح افقی. نتایج به دست آمده از کاربرد روش روی: (الف) میدان، (ب) مشتق قائم میدان، (ج) مشتق افقی میدان در جهت  $x$ ، (د) مشتق افقی میدان در جهت  $y$ . علامت‌های (+ و .) نتایج تبدیل هیلبرت در جهت  $x$  و  $y$  هستند. دایره‌ها محدوده میانگین‌گیری از نتایج را نشان می‌دهد.

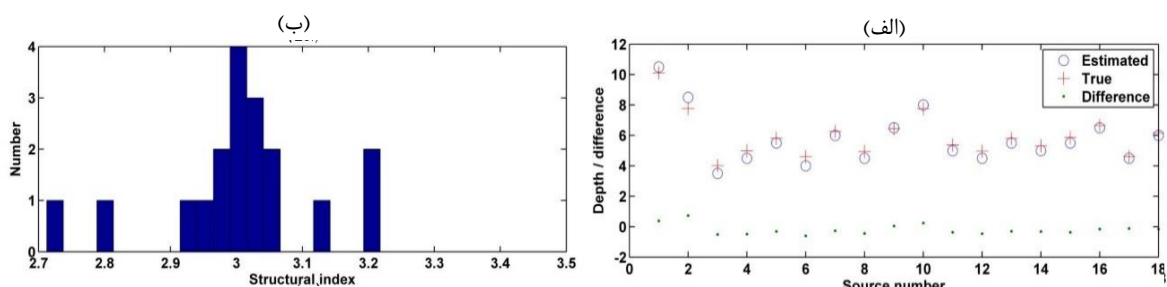
همه جواب‌ها در این دایره‌ها در نظر گرفته می‌شود. دایره‌ها در نقشه‌ها محدوده میانگین‌گیری برای هر چشم‌های را نشان می‌دهند. با دقت در شکل ۲ مشاهده می‌شود که همه چشم‌های به طور همزمان در نتایج به دست آمده از حل تنها یکی از معادلات هشت‌گانه اویلر وجود ندارند. به عنوان مثال چشم‌های مشتق افقی در جهت  $x$  شناسایی شده است. عواملی متعددی مانند اندازه پنجره، نوفه، اثر تداخلی بی‌هنگاری‌ها نسبت به هم، گسترش یا جهت‌گیری بی‌هنگاری در یک جهت و دامنه بی‌هنگاری می‌تواند در این مورد مؤثر باشد. مجموع جواب‌ها برای عمق که از کاربرد روش واهمامیخت تعمیم یافته اویلر روی میدان و مشتق‌های آن به دست آمده به صورت نمایش سه‌بعدی در شکل ۳ نشان داده شده است. جواب‌های غیرواقعی با استفاده از معیارهای مناسبی فیلتر شده‌اند. همانند تخمین موقعیت افقی، عمق نهایی برابر میانگین همه عمق‌های تخمینی در محدوده تعریف شده (دایره‌ها در شکل ۲)



شکل ۳: تمرکز و تجمع جواب‌ها در عمق. نتایج به دست آمده از کاربرد روش روی: (الف) میدان، (ب) مشتق قائم میدان، (ج) مشتق افقی میدان در جهت  $x$  و (د) مشتق افقی میدان در جهت  $y$ . دایره‌های آبی و لوزی‌های قرمز نتایج تبدیل هیلبرت در جهت  $x$  و  $y$  هستند



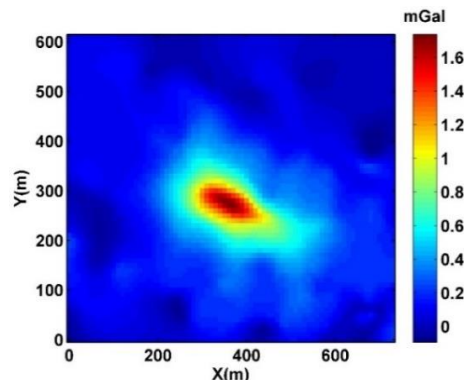
شکل ۴: (الف) تخمین موقعیت افقی چشمه‌ها (علامت + قرمز رنگ محل تخمین‌زده شده و دایره سبز رنگ محل واقعی دوقطبی‌ها).  
- (ب) عمق تخمینی چشمه‌ها پس از میانگین‌گیری



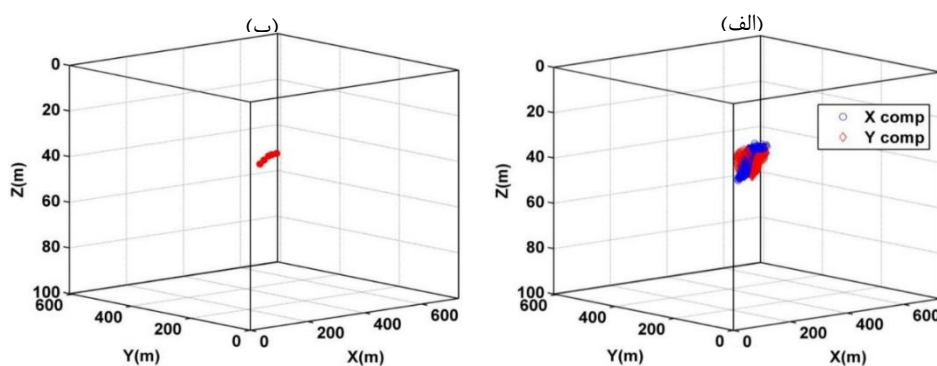
شکل ۵: (الف) عمق واقعی و تخمینی چشمه‌های مصنوعی و اختلاف آنها. (ب) توزیع آماری مقادیر به دست آمده برای شاخص ساختاری

عمق در فرایند وارون‌سازی بر مبنای این مقدار شاخص ساختاری به کار گرفته شده است.

روش واهمامیخت اویلر تعمیم یافته با انتخاب پنجره‌ای با ابعاد ۳۹ نقطه‌ای روی داده‌های میدان گرانی اعمال شده است. برای حل معادلات از تبدیل هیلبرت در هر دو جهت استفاده شده است. تعداد کل جواب‌ها پس از اعمال فیلترها و معیارهای مناسب حدود ۵۴۰ عدد است. در شکل ۷-الف و ۷-ب مجموعه کل جواب‌ها و میانگین جواب‌ها را در محدوده بی‌هنجاری نمایش می‌دهد. توزیع نتایج به دست آمده برای محل رومرکز چشمیه و توزیع آماری شاخص ساختاری در شکل ۸-الف و ۸-ب نمایش داده شده است. این نتایج در عین سازگاری با مطالعات پیشین به خوبی محل افقی توده را تعیین می‌کند. نتایج به دست آمده انطباق و همخوانی خوبی با مطالعات پیشین دارد. بیشترین توزیع شاخص ساختاری در بازه  $1/2$  تا  $1/4$  است که با شکل هندسی و همچنین مقدار به دست آمده برای شاخص ساختاری، توسط یالونگو و همکاران [۳۴]، مطابقت خوبی دارد.



شکل ۶: بی‌هنجاری بوگر معدن واقع در نوراندا



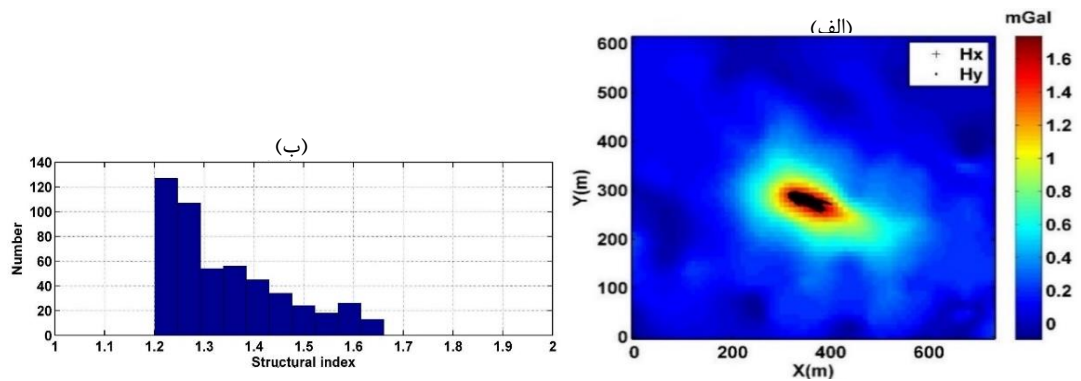
شکل ۷: تخمین عمق چشمیه واقعی. (الف) پراکندگی و تمرکز همه جواب‌ها (دایره‌های آبی رنگ و لوزی‌های قرمز رنگ نتایج حاصل از تبدیل هیلبرت در جهت  $x$  و  $y$  را نشان می‌کنند. (ب) میانگین نتایج در چند محدوده.

### ۲-۳-۲- تحلیل داده‌های واقعی

در این بخش روش اویلر تعمیم یافته برای تخمین مشخصه‌های چشمیه تولیدکننده بی‌هنجاری گرانی و مغناطیسی بر روی داده‌های واقعی به کار برده می‌شود.

### ۲-۳-۱- بی‌هنجاری گرانی نوراندا، کانادا

بی‌هنجاری گرانی نوراندا (Noranda) استان کبک (Quebec) کشور کانادا، (شکل ۶) ناشی از یک توده بزرگ سولفید فلز پایه (base metal sulfide)، عمدتاً پیریت است [۳۳]. فاصله بین نقاط شبکه منظم داده‌ها ۱۰ متر و ابعاد محدوده اندازه‌گیری  $740 \times 620$  متر مربع است. مطابق تحلیل انجام شده توسط گرنت و وست [۳۲] با روش نیم پهنا (half-width)، عمق تا مرکز توده حدوداً ۵۰ متر برآورد شده است. یالونگو و همکاران [۳۴] با وارون‌سازی داده‌ها عمق تا مرکز را تقریباً ۴۰ تا ۵۰ متر تخمین زده و با استفاده ازتابع مقیاس‌دهی و روش چندمقیاسی شاخص ساختاری این چشمیه را  $1/4$  برآورد کردند و تابع وزنی

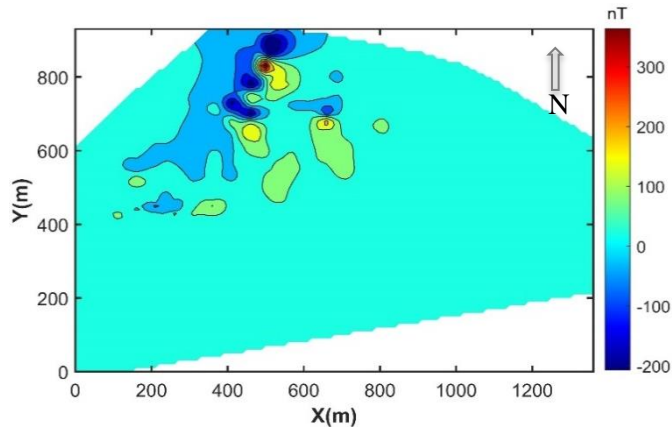


شکل ۸: (الف) پراکندگی جواب‌ها برای موقعیت افقی چشممه (علامت + و -). نتایج حاصل از تبدیل هیلبرت در جهت  $x$  و  $y$  را نشان می‌دهد. (ب) توزیع آماری مقادیر به دست آمده برای شاخص ساختاری

برداشت شده‌اند. شکل ۹ نقشه بی‌هنجری مغناطیسی را پس انجام کلیه تصحیحات شامل IGRF و تغییرات روزانه میدان، با شبکه‌بندی (gridding) ۱۰ متر نمایش می‌دهد. همانطور که از نقشه مغناطیسی پیداست، بی‌هنجری‌های برجسته‌ای در شمال منطقه به شکل دوقطبی وجود دارند. بر اساس شواهد سطحی و اطلاعات زمین‌شناسی و همچنین اندازه‌گیری خودپذیری مغناطیسی از رخمنون واحدهای مختلف سنگی در این ناحیه، این بی‌هنجری‌ها توسط سنگ‌های آذرین بیرونی تولید شده و ارتباطی با کانه‌زایی آهن ندارند.

### ۲-۲-۳- بی‌هنجری مغناطیسی، اثار، استان کرمان

داده واقعی دیگری که مورد تحلیل و بررسی قرار گرفته است، بی‌هنجری مغناطیسی مربوط به منطقه‌ای در شمال غربی زرند و در محدوده‌ای از شهرستان اثار و در قسمتی از نوار مرزی استان کرمان با استان یزد است. این محدوده بر روی واحدهای رسوبی شامل سنگ آهک، شیل، ماسه سنگ کوارتزینی و همچنین آبرفت‌های کواترنری قرار دارد. سنگ‌های آذرین بیرونی رخمنون یافته‌اند. داده‌های مغناطیسی در امتداد پروفیل‌های شمالی-جنوبی با فواصل ۵۰ متر از یکدیگر و فواصل ایستگاهی حدود ۱۰ تا ۲۵ متر



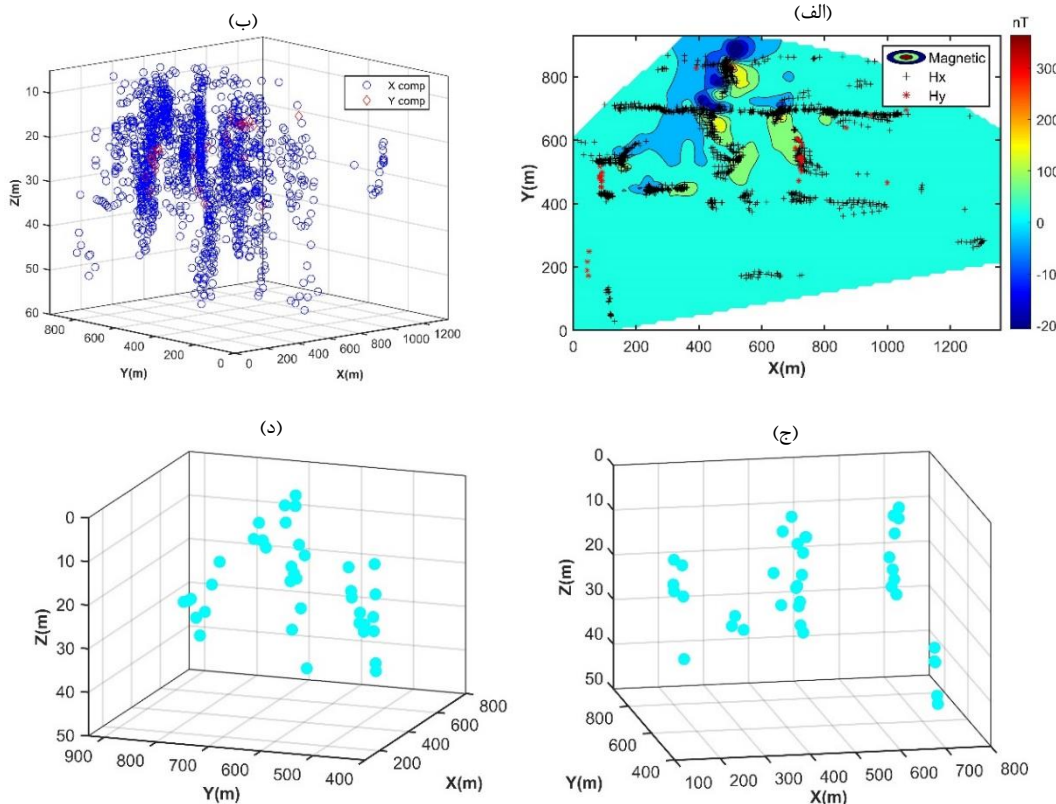
شکل ۹: بی‌هنجری مغناطیسی توده‌های آذرین اثار کرمان

شکل ۱۰ نمایش داده شده‌اند. در این مورد نیز مجموع جواب‌های به دست آمده از تبدیل هیلبرت میدان در دو جهت، همزمان در نظر گرفته می‌شوند. برای تخمین بهتر موقعیت افقی و عمق چشممه‌ها، با توجه به تمرکز و تجمع جواب‌ها و مطابقت آن با بی‌هنجری روی نقشه (شکل ۹)، دایره‌ای با شعاع ۳ متر انتخاب شده و مقدار تخمینی عمق

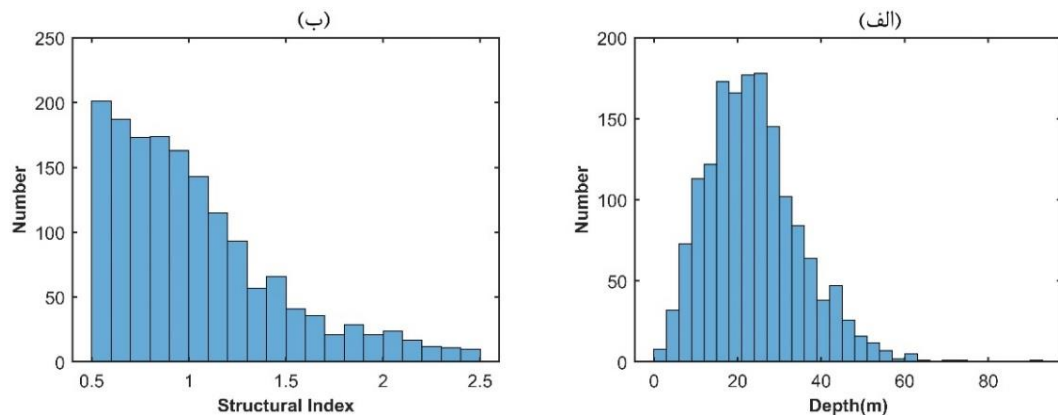
روش واهمامیخت اویلر تعمیم یافته با انتخاب پنجره‌ای با ابعاد ۵ نقطه (۵۰ متر) و حل معادلات برای میدان مغناطیسی با استفاده از تبدیل هیلبرت در هر دو جهت  $x$  و  $y$  برای تخمین مشخصه‌های چشممه بی‌هنجری به کار برده شد. نتایج به دست آمده پس از حذف جواب‌های غیرواقعی از طریق اعمال معیارهای مناسب در

تخمینی می‌توانند مربوط به قسمت‌های مختلف چشمها از جمله نقاط داخلی، سطح و یا نقاط تکین چشمها [۲۵] باشند. بنابراین شاید بتوان نتیجه‌گیری کرد که چشمها از ۵ تا ۴۵ متری از سطح زمین گسترش دارند. تخمین عمق صورت گرفته انطباق خوبی با نتایج گزارش شده دارد.

و محل افقی چشم، مقدار میانگین همه جواب‌ها در این دایره فرض می‌شود (شکل ۱۰-الف و ب). شکل ۱۱ توزیع آماری مقادیر شاخص ساختاری و عمق چشمها را نشان می‌دهد. با توجه به پراکندگی شاخص ساختاری و در نظر گرفتن این واقعیت که در شرایط واقعی چشمها شکل هندسی منظم همانند کره، استوانه یا ورقه ندارند نقاط



شکل ۱۰: جواب‌های روش واهمامیخت اویلر برای داده‌های مغناطیسی. (الف) و (ب) پراکندگی و تمرکز همه جواب‌ها (دایره‌های آبی رنگ و لوزی‌های قرمز رنگ نتایج حاصل از تبدیل هیلبرت در جهت  $x$  و  $y$  است)، (ج) و (د) پراکندگی محل افقی و عمق چشمها پس از میانگین‌گیری از نتایج قابل قبول (نمایش‌های سه‌بعدی یکسان اما از زوایای متفاوت هستند).



شکل ۱۱: پراکندگی نتایج برای: (الف) عمق و (ب) شاخص ساختاری

- [3] Reid, A. B., Allsop, J. M., Granser, H., Millett, A. T., & Somerton, I. W. (1990). "Magnetic interpretation in three dimensions using Euler deconvolution", *Geophysics*, 55(1), pp. 80-91.
- [4] Fairhead, J. D., Bennett, K. J., Gordon, D. R. H., & Huang, D. (1994). "Euler: beyond the "black box". In SEG Technical Program Expanded Abstracts, pp. 422-424.
- [5] Ravat, D. (1996). "Magnetic properties of untrusted steel drums from laboratory and field-magnetic measurements", *Geophysics*, 61(5), pp. 1325-1335.
- [6] Barbosa, V. C., Silva, J. B., & Medeiros, W. E. (1999). "Stability analysis and improvement of structural index estimation in Euler deconvolution", *Geophysics*, 64(1), pp. 48-60.
- [7] Nabighian, M. N., & Hansen, R. O. (2001). "Unification of Euler and Werner deconvolution in three dimensions via the generalized Hilbert transform", *Geophysics*, 66(6), pp. 1805-1810.
- [8] Hsu, S. K. (2002). "Imaging magnetic sources using Euler's equation", *Geophysical prospecting*, 50(1), pp. 15-25.
- [9] Mushayandebvu, M. F., Van Driel, P., Reid, A. B., & Fairhead, J. D. (2001). "Magnetic source parameters of two-dimensional structures using extended Euler deconvolution", *Geophysics*, 66(3), pp. 814-823.
- [10] Salem, A., & Ravat, D. (2003). "A combined analytic signal and Euler method (AN-EUL) for automatic interpretation of magnetic data", *Geophysics*, 68(6), pp. 1952-1961.
- [11] Silva, J. B., & Barbosa, V. C. (2003). "3D Euler deconvolution: Theoretical basis for automatically selecting good solutions", *Geophysics*, 68(6), pp. 1962-1968.
- [12] Mushayandebvu, M. F., Lesur, V., Reid, A. B., & Fairhead, J. D. (2004). "Grid Euler deconvolution with constraints for 2D structures", *Geophysics*, 69(2), pp. 489-496.
- [13] Stavrev, P., & Reid, A. (2006). "Degrees of homogeneity of potential fields and structural indices of Euler deconvolution", *Geophysics*, 72(1), pp. L1-L12.
- [14] Fedi, M., Florio, G., & Quarta, T. A. (2009). "Multiridge analysis of potential fields: Geometric method and reduced Euler deconvolution", *Geophysics*, 74(4), pp. L53-L65.
- [15] Davis, K., Li, Y., & Nabighian, M. (2010). "Automatic detection of UXO magnetic anomalies using extended Euler deconvolution", *Geophysics*, 75(3), pp. G13-G20.

#### ۴- نتیجه‌گیری

در این مقاله به مطالعه و کاربرد روش واهمامیخت اویلر تعمیم یافته برای میدان‌های پتانسیل و همچنین به معرفی اجمالی روش‌های محاسبه مشتق‌های جهتی میدان پرداخته شد. توانایی روش واهمامیخت اویلر تعمیم یافته با کاربرد آن روی داده‌های مصنوعی بی‌هنجری مغناطیسی و داده‌های واقعی گرانی و مغناطیسی، از طریق تحلیل هر دو مؤلفه تبدیل هیلبرت مورد بررسی قرار گرفت. مهم‌ترین مزیت این روش تخمین خودکار شاخص ساختاری چشم‌هه و حذف میدان زمینه (برای چشم‌هایی با شاخص ساختاری غیرصفر) است. در تفسیر یک بی‌هنجری لازم است که با توجه به گسترش و تداخل بی‌هنجری‌ها ابعاد پنجره بهینه شود. همانند روش معمولی واهمامیخت اویلر جواب‌های غیرواقعی در هر پنجره با در نظر گرفتن معیارهایی حذف می‌شوند و هرچه میزان تجمع جواب‌ها بیشتر باشد حل‌ها از اعتبار بالاتری برخوردارند. نتایج حاصل از این روش را می‌توان به عنوان اطلاعات اولیه در الگوریتم‌های پیچیده وارون‌سازی وارد کرد و به این ترتیب عدم یکتاپی را کاهش داد و مدل‌های دقیق‌تری را بازسازی کرد. برای داده‌های مصنوعی، که چشم‌هه مولد شامل چندین دوقطبی مغناطیسی بود، حتی با وجود نوفه نسبتاً قوی نتایج کمیت‌های تخمین‌زده شده، یعنی عمق، موقعیت افقی و شاخص ساختاری انطباق خوبی با مقادیر واقعی داشت. علاوه بر این، نتایج حاصل از کاربرد روش بحث شده روی داده‌های واقعی توافق خوبی با اطلاعات موجود دارد.

#### ۵- تشکر و قدردانی

نویسنده‌گان مقاله از سردبیر و داوران به خاطر نظرات سازنده که به بهبود کیفیت مقاله منجر شد، کمال تشکر را دارند.

#### مراجع

- [1] Hood, P. (1965). "Gradient measurements in aeromagnetic surveying", *Geophysics*, 30(5), pp. 891-902.
- [2] Thompson, D. T. (1982). "EULDPH: A new technique for making computer-assisted depth estimates from magnetic data", *Geophysics*, 47(1), pp. 31-37.

- [28] Blakely, R. J. (1996). "Potential theory in gravity and magnetic applications", Cambridge university press.
- [29] Fedi, M., & Florio, G. (2001). "Detection of potential fields source boundaries by enhanced horizontal derivative method", Geophysical prospecting, 49(1), pp. 40-58.
- [30] Gerald, C. F., & Wheatley, P. O. (1989). "Applied numerical analysis. 4th ed.", Addison-Wesley Publ. Co., Boston, MA.
- [31] Baniamerian, J., Oskooi, B., & Fedi, M. (2017). "Source imaging of potential fields through a matrix space-domain algorithm", Journal of Applied Geophysics, 136, pp. 51-60.
- [32] Paštka, R., Richter, F. P., Karcol, R., Brazda, K., & Hajach, M. (2009). "Regularized derivatives of potential fields and their role in semi-automated interpretation methods", Geophysical Prospecting, 57(4), pp. 507-516.
- [33] Grant, F. S., & West, G. F. (1965). "Interpretation theory in applied geophysics", McGraw Hill Inc.
- [34] Ialongo, S., Fedi, M., & Florio, G. (2014). "Invariant models in the inversion of gravity and magnetic fields and their derivatives", Journal of Applied Geophysics, 110, pp. 51-62.
- [16] Cooper, G. R. J. (2014). "Euler deconvolution in a radial coordinate system", Geophysical Prospecting, 62(5), pp. 1169-1179.
- [17] Florio, G., & Fedi, M. (2014). "Multiridge Euler deconvolution", Geophysical prospecting, 62(2), pp. 333-351.
- [18] Reid, A. B., & Thurston, J. B. (2014). "The structural index in gravity and magnetic interpretation: Errors, uses, and abuses", Geophysics, 79(4), pp. J61-J66.
- [19] Melo, F. F., & Barbosa, V. C. (2018). "Correct structural index in Euler deconvolution via base-level estimates", Geophysics, 83(6), pp. J87-J98.
- [20] FitzGerald, D., Reid, A., & McInerney, P. (2004). "New discrimination techniques for Euler deconvolution", Computer and Geoscience, 30(5), pp. 461-469.
- [21] Mushayandebvu, M. F., van Driel, P., Reid, A. B., & Fairhead, J. D. (1999). "Magnetic imaging using extended Euler deconvolution", In SEG Technical Program Expanded Abstracts, pp. 400-402.
- [22] Fedi, M., Florio, G., & Paoletti, V. (2015). "MHODE: a local-homogeneity theory for improved source-parameter estimation of potential fields", Geophysical Journal International, 202(2), pp. 887-900.
- [23] Fedi, M., Florio, G., & Cascone, L. (2012). "Multiscale analysis of potential fields by a ridge consistency criterion: the reconstruction of the Bishop basement", Geophysical Journal International, 188(1), pp. 103-114.
- [24] Hinze, W. J., Von Frese, R. R., & Saad, A. H. (2013). "Gravity and magnetic exploration: Principles, practices, and applications", Cambridge University Press.
- [25] Florio, G., Fedi, M., & Paštka, R. (2014). "On the estimation of the structural index from low-pass filtered magnetic data", Geophysics, 79(6), pp. J67-J80.
- [26] Nabighian, M. N. (1984). "Toward a three-dimensional automatic interpretation of potential field data via generalized Hilbert transforms: Fundamental relations", Geophysics, 49(6), pp. 780-786.
- [27] Cordell, L., & Grauch, V. J. S. (1985). "Mapping basement magnetization zones from aeromagnetic data in the San Juan Basin, New Mexico", In The utility of regional gravity and magnetic anomaly maps (pp. 181-197). Society of Exploration Geophysicists.